



Identification and Classification of Intentionally Modified Crania from Chega Sofla, Utilizing Hierarchical Cluster Analysis

Mahdi Alirezazadeh^{1*}, Hamed Vahdati Nasab²

1. Ph.D of Archaeology, Department of Archaeology, Faculty of Humanities, Tarbiat Modares University, Tehran, Iran
2. Professor, Department of Archaeology, Faculty of Humanities, Tarbiat Modares University, Tehran, Iran

Received: 2024/10/15

Accepted: 2024/12/26

Abstract

Quantitative variables can be used to describe human-modified skulls, similar to many archaeological findings. Eleven modified and normal skulls from the 5th Millennium BCE were found during excavations at Chega Sofla, and 60 normal skulls from contemporary Khuzestan residents were analyzed using hierarchical cluster analysis. Six indices were used to describe each skull based on ten quantitative variables. The indices were selected to be sensitive to flattening of the frontal, occipital, and parietal bones, as well as changes in the maximum length, breadth, and height of the cranium. The accuracy and efficiency of this method in classifying and distinguishing modified skulls from normal skulls were evaluated. An increase in the sample size, including ancient and modern normal skulls from Khuzestan, was considered. The success of the explanatory variables in describing response variables was also assessed. The modified skulls from Chega Sofla were separated from ancient and modern normal skulls using this method, and based on the selected variables, they formed a distinctive category. A slight deformation was observed in the BG1.02 specimen, where only the squamous part of the occipital bone was flattened. The different morphologies of the modified BG6.01 skull compared to those of the other modified skulls were also discernible. These findings suggest that the explanatory variables effectively describe the skulls. With an increase in the sample size from 29 skulls to 71 skulls, the results were replicated, confirming the appropriate selection of explanatory variables and highlighting the robustness of the present method against variations in sample size. Moreover, the proposed classification is independent of researcher-dependent biases. Finally, it should be noted that this dimension's data matrix can be analyzed in an R project environment within a few seconds.

Keywords:

Modified skulls, Cluster analysis, Chega Sofla, Craniometry, Skull classification, Quantitative variables

* Corresponding Author: Alirezazadeh@modares.ac.ir



Introduction

Modified human skulls are among the rare archaeological findings. There have been reports of these skulls from sites on the Iranian Plateau (Hole et al., 1969; Soltysiak & Darabi, 2017; Lambert, 1979; Meiklejohn et al., 1992; Pullar, 1990; Hole, 1977; Ortner, 1996). Archaeological surveys and excavations at Tol-e Chega Sofla, a site dating to the 5th Millennium BCE in southwestern Iran (Figure 1), led to the discovery of a cemetery with dimensions of approximately 800×200 m². Ten graves were excavated in three excavation units, covering 163 m². Investigations have revealed that 13 skulls were intentionally modified, 12 of which were from grave BG1 and one from grave BG6. In addition, one skull from grave BG1 exhibited unintentional modification, with only part of the occipital bone being flattened (Alirezazadeh, 2022; Alirezazadeh et al., 2024b; Moghaddam & Miri, 2021; Vahdati-Nasab & Kazazi, 2018; Alirezazadeh et al., 2024a). In recent decades, researchers have employed quantitative methods to study this type of skull (Alirezazadeh et al., 2024a; Clark et al., 2007; Manríquez et al., 2005; O'Brien and Stanley, 2013; Perez, 2007; Pomeroy et al., 2010). Quantitative methods were used to examine modified skulls in this study. In addition to the modified and normal skulls from Chega Sofla, 60 medical images of the Khuzestan residents were analyzed in this study.

Materials and Methods

This study is based on a statistical population of skulls from the Chega Sofla cemetery that dates back to the 5th millennium BCE and modern skulls from Khuzestan (Figure 2). All 71 specimens studied were initially described using ten quantitative variables, including 1) chord length of the frontal bone (from Glabella to Bregma), 2) arc length of the frontal bone (from Glabella to Bregma), 3) chord length of the parietal bone (from Bregma to Lambda), 4) arc length of the parietal bone (from Bregma to Lambda), 5) chord length of the occipital bone (from Lambda to Opisthion), 6) arc length of the occipital bone (from Lambda to Opisthion), 7) chord length of the frontal bone (from Nasion to Bregma), 8) maximum cranial length (from Glabella to Opisthocranium), 9) maximum cranial breadth (from Euryon to Euryon), and 10) maximum cranial height (from Basion to Bregma) (Figure 3). Based on the above variables, six indices were defined: 1) frontal index, 2) parietal index, 3) occipital index, 4) annular type index, 5) tabular type index, and 6) normal type index (Table 1).

Results and Discussion

The data analysis was conducted using two matrices. The first matrix included five intentionally modified Chega Sofla skulls (BG1.05, BG1.11, BG1.12, BG1.20, and BG6.01), five normal Chega Sofla skulls (BG1.03, BG1.04, BG1.10, BG1.19, and BG1.43), one unintentionally modified Chega Sofla skull (BG1.02), and eighteen normal skulls from the Khuzestan residents. In the first phase, 29 skulls were analyzed (the results are displayed in Figure 4). In the second matrix, the number of normal skulls in the Khuzestan residents increased to 60 (Figure 5). Figure 4 illustrates a dendrogram in which the modified Chega Sofla skulls are separated from the other normal specimens (ancient and Khuzestan) and placed on the right (indicated in red in Figure 4).

Subsequently, the number of normal Khuzestan specimens was increased from 18 to 60. The dendrogram in Fig. 5 illustrates the results of this analysis. The Chega Sofla skull BG1.04 clusters with Skull 019 at a height of 0.878. Chega Sofla specimens BG1.19 and BG1.43 clustered with the normal Khuzestan specimen (Skull 015). Other normal Chega Sofla skulls exhibited the same pattern. In other words, although the number of normal specimens has nearly tripled, the normal Chega Sofla skulls continue to cluster with normal Khuzestan skulls. As the last skull in the cluster of normal skulls, skull BG1.02 joins once again. This observation further supported the previous dendrogram (Figure 4).

Conclusion

A hierarchical clustering method based on the selected parameters effectively separated the modified specimens (BG1.05, BG1.11, BG1.12, BG1.20, and BG6.01) from the normal ancient and modern specimens (Figures 4 and 5: red). Additionally, skull BG6.01, whose modification differs from the other specimens (Figure 2, first row), was identified and added to the modified skull group. BG1.02, which was added as the last cluster to the group of normal skulls (Figures 4 and 5: green), also demonstrated the sensitivity of this method to small variations. The ancient normal skulls were scattered among the modern Khuzestan skulls and formed clusters with modern specimens at lower heights (Figure 4: BG1.19, Skull 015, and Figure 5: BG1.04, Skull 019), emphasizing the similarity of the considered indices between normal skulls, despite the thousands of years between them. The clustering heights of the modified skulls were large in both the dendrograms (Figures 4 and 5). This observation suggests that using a similar method to modify skulls does not necessarily result in similar morphology. Although the biological patterns of cranial bone growth in *Homo sapiens* are similar, their cultural patterns are different.



شناسایی و طبقه‌بندی مجموعه‌های تغییر شکل یافته چگاسفلی به کمک تحلیل خوشه‌ای

مهدی علیرضا زاده نوده^{۱*} و حامد وحدتی نسب^۲

۱. دکتری باستان‌شناسی، گروه باستان‌شناسی، دانشکده علوم انسانی، دانشگاه تربیت مدرس، تهران، ایران
۲. استاد، گروه باستان‌شناسی، دانشکده علوم انسانی، دانشگاه تربیت مدرس، تهران، ایران

تاریخ پذیرش: ۱۴۰۳/۱۰/۰۶

تاریخ دریافت: ۱۴۰۳/۷/۲۴

چکیده

مجموعه‌های تغییر شکل یافته انسانی همانند بسیاری از یافته‌های باستانی این قابلیت را دارند که به کمک متغیرهای کمی توصیف شوند. در این پژوهش تعداد ۱۱ مجموعه تغییر شکل یافته و معمولی هزاره پنجم پیش از میلاد که از کاوش‌های محوطه چگاسفلی به دست آمده است، همراه با ۶۰ مجموعه معمولی و امروزی مردم خوزستان به کمک روش تحلیل خوشه‌ای سلسله‌مراتبی مطالعه شد. هر کدام از مجموعه‌های مورد مطالعه به کمک شش شاخص، بر پایه ده متغیر کمی مربوط به مجموعه‌سنجی، توصیف شد. شاخص‌ها به نحوی انتخاب شده‌اند که به مسطح شدن استخوان پیشانی، پس‌سری و آهیانه‌ای و همچنین تغییرات ایجاد شده در بیشترین طول، عرض و ارتفاع کرانیوم حساس باشند. دقت و سرعت روش گفته شده در طبقه‌بندی و تفکیک مجموعه‌های تغییر شکل یافته از سایر مجموعه‌ها، بررسی می‌شود. افزایش اندازه نمونه، در اینجا مجموعه‌های معمولی باستانی و امروزی مردم خوزستان، پیگیری می‌شود. موفقیت متغیرهای توضیحی در توصیف متغیرهای پاسخ نیز ارزیابی شد. به کمک این روش و متغیرهای در نظر گرفته شده، مجموعه‌های تغییر شکل یافته چگاسفلی از مجموعه‌های معمولی باستانی و امروزی جدا شد و در دسته‌ای متفاوت قرار گرفت. تغییر شکل غیرعادی در نمونه BG1.02 که تنها قسمتی از بخش صدفی استخوان پس‌سری در آن مسطح شده است، شناسایی شد. موفقولوژی متفاوت تغییر شکل مجموعه BG6.01 نسبت به سایر مجموعه‌های تغییر شکل یافته، قابل تشخیص است. این موارد نشان می‌دهد که متغیرهای توضیحی به خوبی توانسته‌اند مجموعه‌ها را توصیف کنند. با افزایش اندازه نمونه از ۲۹ مجموعه به ۷۱ مجموعه، نتایج دوباره تکرار شد که علاوه بر تایید انتخاب صحیح متغیرهای توضیحی به مقاومت بدن روش حاضر نسبت به افزایش اندازه نمونه نیز اشاره دارد. ضمن اینکه طبقه‌بندی ارائه شده، مستقل از آریبی‌های وابسته به پژوهشگر است. در پایان، باید در نظر گرفت که مطالعه ماتریس داده‌ای با این ابعاد، در محیط پروژه R تنها در چند ثانیه انجام می‌شود.

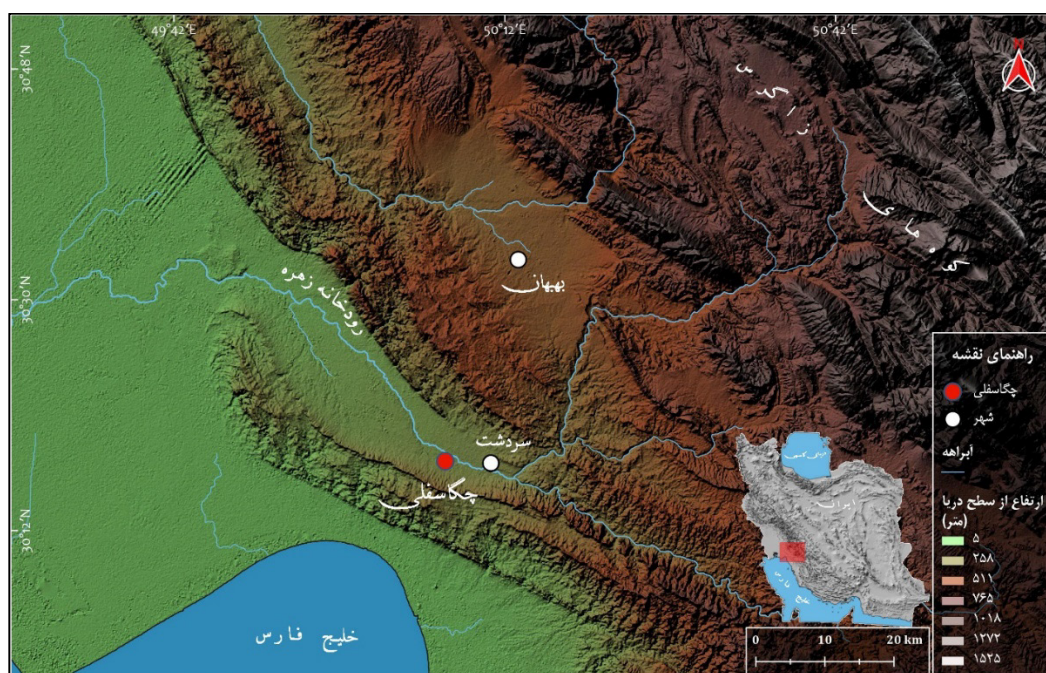
واژگان کلیدی

مجموعه‌های تغییر شکل یافته، تحلیل خوشه‌ای، چگاسفلی، مجموعه‌سنجی، طبقه‌بندی مجموعه‌ها، متغیرهای کمی

*مسئول مکاتبات: Alirezazadeh@modares.ac.ir



مجموعه‌های تغییرشکل یافته انسانی، از جمله یافته‌های کمیاب باستانی است. این مجموعه‌ها از محوطه‌های مربوط به فلات ایران گزارش شده است. از جمله این محوطه‌ها می‌توان به علی کش (Hole et al., 1969; Sołtysiak & Darabi, 2017)، گنج‌دره (Daems & Lorentz, 2017; Pullar, 1990)، چگاسفلی (Lambert, 1979; Meiklejohn et al., 1992)، چغامیش (Croucher, 2007; Hole, 1977; Delougaz & Kantor, 1996; Ortner, 1996) و تپه گنیل (Meiklejohn et al., 1992) اشاره کرد. بررسی‌ها و کاوش‌های باستان‌شناختی در چگاسفلی، محوطه هزاره پنجم پیش از میلاد در جنوب غرب ایران (شکل ۱)، منجر به کشف گورستانی با ابعاد تقریبی 200×800 m² شد. تعداد ۱۰ گور در سه کارگاه با مجموع مساحت 163 m² کاوش شد. بررسی‌ها نشان می‌دهد که تعداد ۱۳ مجموعه به صورت عامدانه تغییرشکل پیدا کرده است که دوازده نمونه مربوط به گور BG1 و یک نمونه نیز متعلق به گور BG6 است. علاوه بر این، یک مجموعه نیز از گور BG1 به صورت غیرعامدانه تغییرشکل پیدا کرده و تنها بخش‌هایی از صدف استخوان پس سری در آن مسطح شده است (علیرضازاده نودهی، ۱۴۰۱؛ علیرضازاده نودهی و همکاران، ۱۴۰۳؛ مقدم، ۱۳۹۷؛ وحدتی‌نسب و کزازی، ۱۳۹۷؛ Alirezazadeh et al., 2024؛ Moghaddam & Miri, 2021).



شکل ۱. موقعیت جغرافیایی محوطه چگاسفلی در جنوب غربی ایران
 Figure 1. Geographical location of the Chega Sofla in southwestern Iran

باید اذعان کرد که پژوهش‌های باستان‌شناسی و قوم‌نگاری، شواهدی از این نوع مجموعه‌ها در قاره‌های مختلف ارائه داده است (Brown, 1981; Burrows & Stanley, 1898; Chech et al., 1999; Cheever, 1856; Clark et al., 2007; Durband, 2008; Joyce, 1914; Ni et al., 2020; Tiesler, 2014). با اینکه بقراط در قرن پنجم پیش از میلاد به این نوع مجموعه‌ها اشاره کرده بود (Hippocrates & Jones, 1923, p. 111)، اما طبقه‌بندی آن‌ها از قرن نوزدهم میلادی آغاز شد (Virey, 1815, p. 230) و در پی آن پژوهشگران متعددی طبقه‌بندی مدنظر خود را پیشنهاد دادند (Morton, 1839; Wilson, 1862; Topinard, 1879; Hrdlička, 1919; Imbelloni, 1923; Dingwall, 1931). گاهی شکل و ریخت مجموعه، گاهی نیز ابزارهای درگیر در فرایند تغییرشکل، اساس و پایه طبقه‌بندی را تشکیل می‌داد. امروزه این نوع مجموعه‌ها در دو دسته کلی حلقوی (Annular) و جبهه‌ای شکل (Tabular) طبقه‌بندی می‌شوند (Dembo & Imbelloni, 1938; Imbelloni, 1938; Imbelloni, 1963). در تغییرشکل نوع حلقوی، باندپیچی، رشته، طناب یا وسایل مشابه به دور کاسه سر نوزاد پیچیده می‌شود که در نهایت مجموعه مخروطی شکل می‌شود. در حالی که در تغییرشکل نوع جبهه‌ای عموماً تخته یا اشیایی با سطح صاف و سخت به کار گرفته می‌شود. این اشیاء به نحوی روی کاسه سر نوزاد بسته می‌شود که به استخوان پیشانی و پس سری نیروی لازم برای تغییرشکل وارد شود. در این حالت مجموعه جبهه‌ای شکل می‌شود (O'Brien et al., 2013).

در دهه‌های اخیر، پژوهشگران روش‌های کمی را برای مطالعه این نوع از مجموعه‌ها به کار برده‌اند (Alirezazadeh et al., 2024):

پژوهش نیز از روش کمی برای مطالعهٔ مجموعه‌های تغییرشکل یافته استفاده شد. بدین منظور، پژوهش حاضر در کنار مجموعه‌های تغییرشکل یافته و معمولی چگاسفلی از ۶۰ مجموعهٔ امروزی مردم خوزستان نیز بهره برده است. تمام این نمونه‌ها به کمک متغیرهای کمی وابسته به انسان‌شناسی زیستی تعریف می‌شوند. سپس برای طبقه‌بندی جامعهٔ آماری در نظر گرفته شده از تحلیل خوشه‌ای سلسله‌مراتبی استفاده می‌شود. یکی از اهداف پژوهش حاضر، بررسی میزان دقت این روش در شناسایی مجموعه‌های تغییرشکل یافته است. چگونگی تشخیص نمونه‌های تغییرشکل یافته از نمونه‌های امروزی، میزان حساسیت این روش به مورفولوژی استخوان‌های جمجمه و تغییرشکل آن‌ها، نحوهٔ تغییر نتایج این روش با افزایش نمونه‌های معمولی و مواردی از این دست مورد بحث و بررسی قرار گرفت. اهمیت پژوهش حاضر در آن است که آریبی‌های مربوط به پژوهشگر در طبقه‌بندی یافتهٔ باستانی بی‌اثر می‌شود. طبقه‌بندی بر مبنای تحلیل عددی و متغیرهای کمی صورت می‌گیرد و سایر پژوهشگران می‌توانند با ماتریس خام مشابه، نتایج را آزمایش کنند. ضمن اینکه طبقه‌بندی تعداد زیادی یافتهٔ باستانی که هر کدام به کمک چندین متغیر توصیف شده‌اند، اساساً خارج از توان پژوهشگر است و هرگونه تلاش برای طبقه‌بندی این یافته‌ها به صورت دستی شاید به سال‌ها زمان نیاز داشته باشد. این در حالی است که به کمک برنامهٔ نوشته‌شده در محیط پروژهٔ R، طبقه‌بندی در چند ثانیه انجام می‌شود.

۲. پیشینه پژوهش

تغییرشکل جمجمه از دیدگاه‌های مختلفی مورد توجه قرار گرفته است. از جملهٔ این موارد می‌توان به دیدگاه انسان‌شناسی زیستی و تأثیر تغییرشکل جمجمه بر الگوی رشد طبیعی (Björk & Björk, 1964; Anton, 1989; Cheverud et al., 1992; O'Loughlin, 1996; Pomatto et al., 2006; Ogura et al., 2006; Rhode & Arriaza, 2006; Del Papa & Perez, 2007; Durband, 2008) اشاره کرد. استفاده از توزیع این پدیده برای تفسیر مهاجرت و برهم‌کنش‌های فرهنگی (Hoshower et al., 1995; Blom et al., 1998; Anton & Weinstein, 1999; Ózbek, 2001) و به‌کارگیری روش‌های مورفومتریکی در شناسایی تغییرشکل جمجمه‌ها (Friess & Baylac, 2003; Alirezazadeh et al., 2024) و (Perez, 2007) اشاره کرد. در دهه‌های اخیر نیز (از سال ۲۰۰۰ میلادی به بعد) پژوهشگران سعی کرده‌اند با معرفی توابعی که بر شاخص‌های جمجمه‌سنجی استوار است (که این شاخص‌ها نیز بر پایهٔ متغیرهای کمی هستند)، مجموعه‌های تغییرشکل یافته را از نمونه‌های معمولی تشخیص دهند. کلارک و همکاران در سال ۲۰۰۷ میلادی با معرفی سه شاخص (که هر کدام از تقسیم دو متغیر کمی به‌دست آمده است) تابعی را پیشنهاد دادند که می‌تواند مجموعه‌های تغییرشکل یافته را از مجموعه‌های معمولی تشخیص دهد (Clark et al., 2007). در سال ۲۰۱۳ میلادی نیز پژوهشی منتشر شد که در آن از سه شاخص (بر پایهٔ چهار متغیر کمی) برای شناسایی نوع و شدت تغییرشکل جمجمه‌ها استفاده شده بود و می‌توانست جمجمه‌ها را در دسته‌های معمولی، حلقوی و جعبه‌ای شکل قرار دهد (O'Brien & Stanley, 2013). در کنار بررسی نقاط قوت و ضعف این دو روش در شناسایی مجموعه‌های تغییرشکل یافته، پژوهش حاضر سعی می‌کند با به‌کارگیری ۶ شاخص زیستی (مجموع دو روش قبلی) که بر ۱۰ متغیر کمی جمجمه‌سنجی استوار است، جامعهٔ آماری موردنظر را بررسی کند.

۳. مواد و روش‌ها

جامعهٔ آماری پژوهش حاضر شامل جمجمه‌های باستانی مربوط به گورستان هزارهٔ پنجم پیش از میلاد چگاسفلی و جمجمه‌های امروزی مردم خوزستان است (شکل ۲). از ۱۱ مجموعهٔ باستانی، ۵ نمونه مربوط به تغییرشکل عامدانه (BG1.05، BG1.11، BG1.12، BG1.20 و BG6.01)، ۵ نمونه مربوط به جمجمه‌های معمولی (BG1.03، BG1.04، BG1.10، BG1.19 و BG1.43) و یک نمونه نیز مربوط به تغییرشکل غیرعامدانه (BG1.02) است که تنها بخش صدفی استخوان پس‌سری در آن تا حدی مسطح شده است. جمجمه‌های امروزی مردم خوزستان نیز شامل ۶۰ نمونهٔ معمولی است.

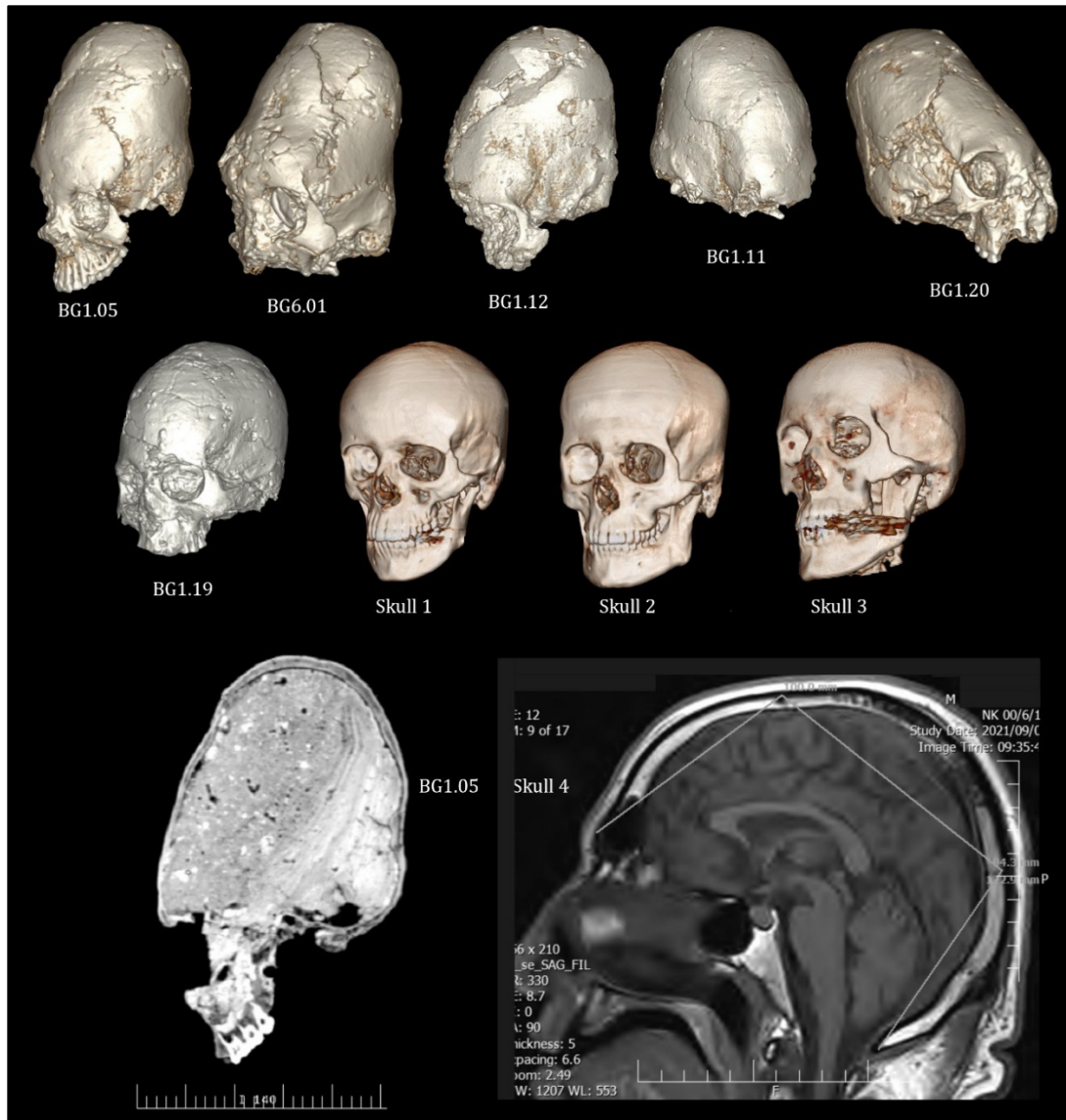
تمام ۷۱ نمونهٔ مورد مطالعه ابتدا به کمک ده متغیر کمی شامل: ۱- طول وتر استخوان پیشانی (از Glabella تا Bregma)، ۲- طول کمان استخوان پیشانی (از Bregma تا Glabella)، ۳- طول وتر استخوان آهیانه (از Bregma تا Lambda)، ۴- طول کمان استخوان آهیانه (از Bregma تا Lambda)، ۵- طول وتر استخوان پس‌سری (از Lambda تا Opisthion)، ۶- طول کمان استخوان پس‌سری (از Lambda تا Opisthion)، ۷- طول وتر استخوان پیشانی (از Bregma تا Nasion)، ۸- بیشترین طول کرانیوم (از Glabella تا Opisthocranium)، ۹- بیشترین عرض کرانیوم (از Euryon تا Euryon) و ۱۰- بیشترین ارتفاع کرانیوم (از Basion تا Glabella)

تا Bregma) توصیف شد (شکل ۳). سپس به کمک متغیرهای بالا، تعداد شش شاخص بدین ترتیب: ۱- شاخص پیشانی، ۲- شاخص آهیانه‌ای، ۳- شاخص پس سری، ۴- شاخص نوع حلقوی، ۵- شاخص نوع جعبه‌ای و ۶- شاخص نوع معمولی تعریف شد (جدول ۱).

جدول ۱. معرفی شاخص‌های مورد استفاده در این پژوهش و نحوه تعریف شاخص‌ها

Table 1. An introduction to the indices used in this study and how they are defined

شاخص‌ها	شاخص پیشانی	شاخص آهیانه‌ای	شاخص پس سری	شاخص نوع حلقوی	شاخص نوع جعبه‌ای	شاخص نوع معمولی
تعریف	متغیر شماره ۱	متغیر شماره ۳	متغیر شماره ۵	متغیر شماره ۱۰	متغیر شماره ۸	متغیر شماره ۷



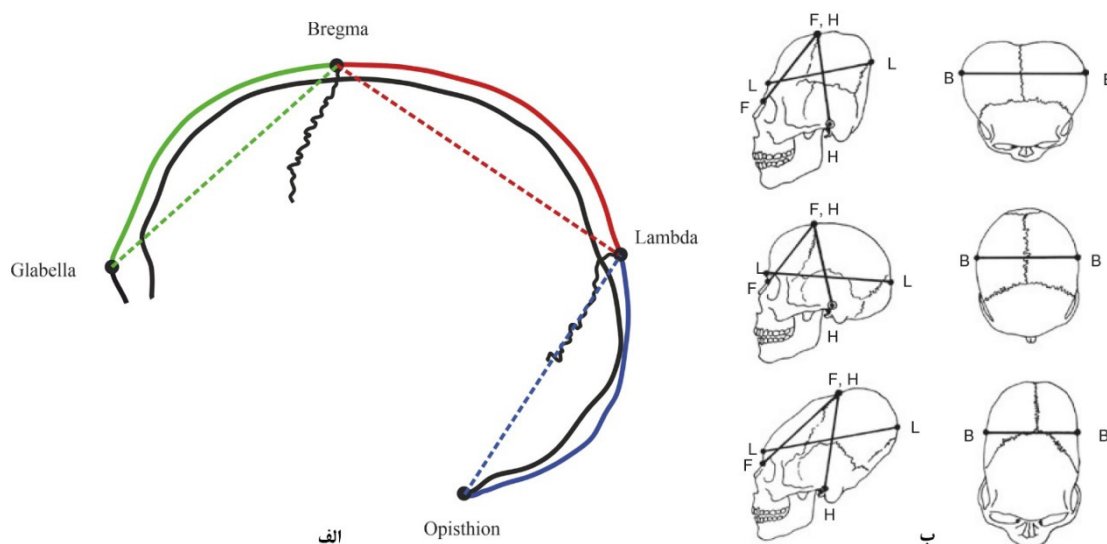
شکل ۲. (سطر اول): تصاویر CT scan مربوط به مجموعه‌های تغییرشکل یافته چگاسفلی، (سطر دوم): مجموعه‌های معمولی امروزی و باستانی و (سطر سوم): اسلایس CT scan مربوط به نمای خارجی مجموعه تغییرشکل یافته BG1.5 و یک مجموعه امروزی که اندازه‌گیری‌های انجام شده را نشان می‌دهد.

Figure 2. (First row): CT scan of modified skulls from Chega Sofla, (second row): modern and ancient normal skulls, and (third row): CT scan slice of the lateral view of the BG1.5 and a modern skull showing the measurements taken.

در انتخاب شاخص‌های شش‌گانه بالا از نتایج پژوهش‌های پیشین استفاده شده است. آنتون و واینستین با بررسی ۵۸۸ مجموعه معمولی و تغییرشکل یافته آمریکای شمالی و جنوبی، استرالیا و نیوزیلند به این نکته پی‌بردند که هر دو نوع تغییرشکل (مجموعه Tabular)

و Annular) وابسته به مسطح شدن استخوان پیشانی و پس سری است (Antón & Weinstein, 1999). در ادامه، کلارک به کمک همکاران خود تابعی را بر پایه نتایج این مطالعه و شاخص‌های مجموعه‌سنجی (سه شاخص اول جدول ۱، شکل ۳: الف) برای تشخیص مجموعه‌های تغییرشکل‌یافته از مجموعه‌های معمولی ارائه داد (Clark et al., 2007). سه شاخص دوم (شکل ۳: ب) نیز وابسته به پژوهشی است که اوبروین و استلی در سال ۲۰۱۳ میلادی ارائه دادند (O'Brien & Stanley, 2013). در آن پژوهش از ۴۶۹ جمجمه پیشاسپانیایی آرژانتین، بولیوی، شیلی و پرو استفاده شده بود. آن‌ها به پیروی از پژوهش‌های ایمبلونی، مجموعه‌های تغییرشکل‌یافته را در دو دسته کلی Tabular و Annular قرار دادند (Imbelloni, 1923 and 1938).

در هر دو پژوهش (Clark et al., 2007 و O'Brien & Stanley, 2013)، شاخص‌ها به نحوی تعریف شده‌اند که دو نوع جمجمه تغییرشکل‌یافته (حلقوی و جعبه‌ای) را از مجموعه‌های معمولی تشخیص دهند. با این حال، نقطه ضعف روش کلارک و همکاران این است که تمام شاخص‌های تعریف‌شده، بر نقاط کنترلی تعیین‌شده روی نمای خارجی جمجمه استوار است و سایر نمایهای جمجمه مانند نمای فوقانی را در نظر نمی‌گیرد؛ اما به خوبی مسیر بین نقاط کنترلی را پوشش می‌دهد که نقطه قوت این روش محسوب می‌شود. روش اوبروین و استلی با اینکه نمای فوقانی جمجمه را با در نظر گرفتن متغیر بیشترین عرض کرانیوم لحاظ کرده است، اما مسیر (طول کمان) بین نقاط کنترلی را پوشش نداده است. در این پژوهش شاخص‌ها به نحوی انتخاب شده‌اند که هم نمای خارجی و هم نمای فوقانی جمجمه در نظر گرفته شود و هم اینکه علاوه بر فاصله نقاط کنترلی (طول وتر)، مسیر بین نقاط کنترلی (طول کمان) نیز در محاسبات لحاظ شود.



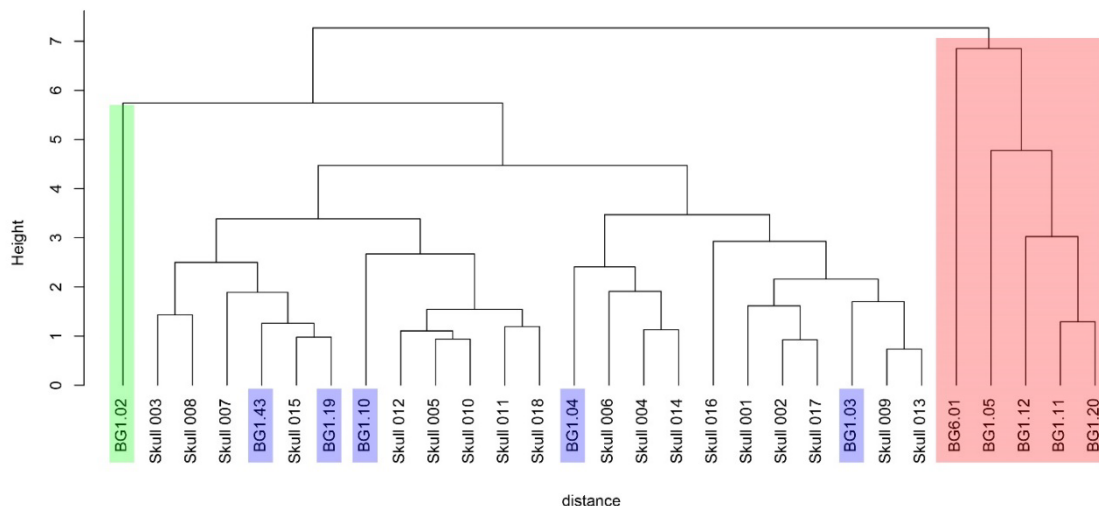
شکل ۳. متغیرهای کمی مورد استفاده در این پژوهش، (الف): متغیرهای شماره ۱ تا ۶ و (ب): متغیرهای شماره ۷ تا ۱۰
Figure 3. Quantitative variables used in this study, (a): variables number 1 to 6 and (b): variables number 7 to 10

تمام جمجمه‌های چگاسفلی در مرکز تصویربرداری پزشکی تهران اسکن شد (با پارامترهای ۲۸۰ mA، ۱۲۰ kV، ۹.۴ mm/rot، و 0.0 Tile) سپس اندازه‌گیری متغیرها در نرم‌افزارهای زیرمجموعه مارکوپیکس انجام شد. تصاویر پزشکی نمونه‌های امروزی خوزستان نیز از مرکز آموزشی، پژوهشی و درمانی گلستان (شهر اهواز) تهیه شد (FA: 90 و TE: 0، TE: 8.7 ms، TR: 330 ms) و اندازه‌گیری‌ها نیز همانند نمونه‌های چگاسفلی انجام شد. با توجه به ماهیت عددی این متغیرها، از روش آماری خوشه‌بندی سلسله‌مراتبی استفاده شد. این روش با در نظر گرفتن هر مشاهده به عنوان یک خوشه، دسته‌بندی را شروع می‌کند و در ادامه مشاهدات و خوشه‌ها را با هم ادغام می‌کند تا زمانی که همه چیز در یک گروه واحد ترکیب شود (کارلسون، ۱۴۰۳: ۴۰۹). معیار فاصله که یکی از مبانی اصلی این روش است، روی فاصله اقلیدسی تنظیم شد. ضمن اینکه مبنای خوشه‌بندی ماتریس داده‌ها، روش پیوند کامل در نظر گرفته شد. در این روش اگر فاصله مشاهده تا دورترین عضو خوشه کمتر از فاصله دورترین اعضای دیگر خوشه‌ها باشد، آنگاه مشاهده به خوشه مورد نظر اضافه می‌شود. تمام این مراحل، از فراخوانی ماتریس داده تا چاپ گراف‌های خروجی، در محیط پروژه R برنامه‌نویسی و انجام شد.

۴. یافته‌ها و بحث

تحلیل داده‌ها روی دو ماتریس انجام شد. ماتریس اول شامل پنج جمجمه تغییرشکل‌یافته عمدی چگاسفلی (BG1.05)، BG1.11، BG1.12، BG1.20 و BG6.01)، پنج جمجمه معمولی چگاسفلی (BG1.03، BG1.04، BG1.10، BG1.19 و BG1.02)، یک جمجمه تغییرشکل‌یافته غیرعمدی چگاسفلی (BG1.02) و هجده جمجمه معمولی مردم خوزستان بود؛ یعنی در مرحله اول، تعداد ۲۹ جمجمه مطالعه شد (که نتایج آن در دندروگرام شکل ۴ نشان داده شده است) و در ماتریس دوم، تعداد جمجمه‌های معمولی مردم خوزستان به شصت نمونه افزایش پیدا کرد (شکل ۵)؛ یعنی تعداد کل جمجمه‌های مورد مطالعه در ماتریس دوم به ۷۱ نمونه افزایش پیدا کرد.

همان‌طور که در دندروگرام شکل ۴ نشان داده شده است، جمجمه‌های تغییرشکل‌یافته چگاسفلی از سایر نمونه‌های معمولی (باستانی و امروزی خوزستان) جدا شده‌اند و در سمت راست قرار گرفته‌اند (رنگ قرمز در شکل ۴). نمونه‌های معمولی چگاسفلی (رنگ آبی) با نمونه‌های امروزی خوزستان خوشه شده‌اند. در اینجا جمجمه BG1.02 به‌عنوان آخرین جمجمه به خوشه جمجمه‌های معمولی متصل شده است (رنگ سبز). در این نمونه تنها بخش‌هایی از صدف استخوان پس‌سری مسطح شده است. باید توجه کرد که خوشه‌بندی براساس شاخص‌های معرفی شده انجام شده است. نخستین خوشه شامل Skull 009 و Skull 013 است که در ارتفاع ۰.۷۳۶ خوشه شده‌اند؛ یعنی این دو جمجمه، شبیه‌ترین نمونه‌ها به یکدیگر هستند. خوشه بعدی در ارتفاع ۰.۹۲۷ از اتصال Skull 002 و Skull 017 تشکیل می‌شود. هرچقدر ارتفاع خوشه‌شدن بیشتر باشد، تفاوت نمونه‌ها بر پایه شاخص‌های معرفی شده نیز بیشتر خواهد بود و برعکس.



شکل ۴. دندروگرام مربوط به تحلیل خوشه‌ای سلسله‌مراتبی برای ۱۱ جمجمه باستانی چگاسفلی و ۱۸ جمجمه امروزی مردم خوزستان بر پایه شاخص‌های معرفی شده در جدول ۱ (رنگ قرمز: جمجمه‌های تغییرشکل‌یافته عمدی چگاسفلی، رنگ آبی: جمجمه‌های معمولی چگاسفلی، رنگ سبز: جمجمه تغییرشکل‌یافته غیرعمدی چگاسفلی).

Figure 4. Dendrogram of hierarchical cluster analysis for 11 ancient Chega Sofla skulls and 18 modern skulls of Khuzestan residents based on the indices introduced in Table 1 (red: intentionally modified Chega Sofla skulls, blue: normal Chega Sofla skulls, green: unintentionally modified Chega Sofla skulls).

قرار گرفتن جمجمه‌های معمولی چگاسفلی در خوشه جمجمه‌های معمولی امروزی (مانند قرار گرفتن BG1.03 در خوشه Skull 009 و Skull 013 در ارتفاع ۱/۷) نشان می‌دهد که متغیرهای در نظر گرفته‌شده به‌خوبی جمجمه‌ها را توصیف کرده‌اند. جمجمه معمولی BG1.19 چگاسفلی با جمجمه معمولی Skull 015 خوزستان در ارتفاع ۰/۹۷۹ خوشه می‌شود و چهارمین خوشه تشکیل شده در این دندروگرام است؛ یعنی این دو نمونه براساس شاخص‌های شش‌گانه جدول ۱ بسیار به هم شبیه هستند. با جداسدن نمونه BG1.02 از سایر نمونه‌های معمولی در ارتفاع پایین و خوشه‌شدن با جمجمه‌های معمولی در ارتفاع ۵/۷۴۱ این نکته دریافت می‌شود که روش به‌کار رفته در این پژوهش علاوه بر تشخیص این نمونه به‌عنوان یک نمونه معمولی، مسطح‌شدن بخش صدفی آن را نیز تشخیص داده است. با این حال، این تغییرشکل به اندازه‌ای نبوده است که نمونه BG1.02 در دسته جمجمه‌های تغییرشکل‌یافته در سمت راست دندروگرام قرار گیرد و تنها به‌عنوان آخرین نمونه، خوشه جمجمه‌های معمولی را تکمیل کرده است.

همان‌طور که در شکل ۲ (سطر اول) نشان داده شده است، در جمجمه‌های تغییرشکل‌یافته چگاسفلی، استخوان‌های پیشانی،

پس سری، آهیانه‌ای و گیجگاهی در اثر اعمال نیروی مکانیکی بیرونی (باندپیچی روی جمجمه نوزاد در زمانی که هنوز فانتل‌ها وجود دارند) دچار تغییر شده و از مورفولوژی طبیعی خود فاصله گرفته‌اند. بخش صدفی استخوان پیشانی و پس سری تا حد زیادی مسطح شده است، سطح خارجی استخوان‌های آهیانه در طرفین کاسه سر تحذب طبیعی خود را از دست داده است، همین حالت برای بخش صدفی استخوان‌های گیجگاهی نیز برقرار است. در این حالت پاسخ زیستی جمجمه به نیروی بیرونی، رشد به سمتی است که نیرو وارد نشده است. در اینجا این ناحیه همان کنار ساجیتال استخوان آهیانه است. به همین دلیل جمجمه‌های تغییرشکل‌یافته چگاسفلی کشیده‌تر از جمجمه‌های معمولی هستند (با سطر دوم شکل ۲ مقایسه شود). تغییرشکل یادشده سبب می‌شود که موقعیت نقاط کنترلی (مانند نیزبان، گلابلا، برگما، لمبدا و غیره) در این جمجمه‌ها جابه‌جا شود. جابه‌جا شدن نقاط کنترلی، شاخص‌های شش‌گانه مورد استفاده در این پژوهش را تغییر می‌دهد و تغییر در این شاخص‌ها، خود را در دندروگرام شکل ۴ نمایان می‌سازد.

با توجه به دندروگرام شکل ۴ مشخص می‌شود که ارتفاع خوشه‌شدن در جمجمه‌های تغییرشکل‌یافته، بیشتر از جمجمه‌های معمولی است. مفهوم این گزاره این است که هرچه قدر در وجه زیستی، جمجمه‌های گونه انسان هوشمند شبیه به یکدیگر است، در وجه مربوط به فرهنگ (تغییرشکل عامدانه یک فرهنگ است)، با یکدیگر متفاوت هستند. هیچ تضمینی وجود ندارد که دو جمجمه تغییرشکل‌یافته، دقیقاً مشابه یکدیگر تغییرشکل پیدا کنند و دارای شاخص‌های جمجمه‌سنجی مشابه یکدیگر باشند. درحالی که فارغ از هزاران سال فاصله زمانی، نمونه‌های معمولی در ارتفاع بسیار پایین با هم خوشه می‌شوند (نمونه BG1.19 و Skull 015).

جمجمه BG6.01 به‌عنوان آخرین جمجمه در ارتفاع ۶/۸۵۱ با جمجمه‌های تغییرشکل‌یافته خوشه شده است. گفتنی است که تغییرشکل در این نمونه، با سایر نمونه‌های تغییرشکل‌یافته متفاوت است. در این نمونه باندپیچی مسیر خود را از میانه‌های بخش عمودی استخوان پیشانی می‌بندد درحالی‌که در سایر نمونه‌ها، باندپیچی استخوان پیشانی را از برجستگی قوس ابروان درگیر کرده است. مدل سه‌بعدی این نمونه در شکل ۲ (سطر اول) نیز نشان می‌دهد که مسیر درز ساجیتال در آن نسبت به سایر نمونه‌های تغییرشکل‌یافته، تحذب بیشتری دارد. روش حاضر به این مورفولوژی متفاوت حساس بوده و نمونه BG6.01 را به‌عنوان آخرین نمونه به خوشه جمجمه‌های تغییرشکل‌یافته اضافه کرده است.

در ادامه، تعداد نمونه‌های معمولی خوزستان از ۱۸ به ۶۰ افزایش پیدا کرد. نتیجه تحلیل در دندروگرام شکل ۵ نشان داده شده است. جمجمه BG1.04 چگاسفلی در ارتفاع ۰/۸۷۸ با جمجمه Skull 019 خوزستان خوشه می‌شود. نمونه‌های BG1.19 و BG1.43 چگاسفلی با نمونه Skull 015 خوزستان خوشه می‌شوند. همین حالت برای سایر جمجمه‌های معمولی چگاسفلی برقرار است؛ یعنی با اینکه تعداد نمونه‌های معمولی تقریباً سه‌برابر شده است، اما کم‌کم جمجمه‌های معمولی چگاسفلی با جمجمه‌های معمولی خوزستان خوشه می‌شوند. از طرفی، جمجمه BG1.02 دوباره به‌عنوان آخرین جمجمه به خوشه جمجمه‌های معمولی متصل می‌شود. این نکته نیز در تائید دندروگرام قبلی (شکل ۴) قرار دارد. جمجمه‌های تغییرشکل‌یافته از سایر نمونه‌ها جدا شده‌اند و در سمت چپ شکل ۵ قرار گرفته‌اند. در این دندروگرام نیز همانند دندروگرام قبلی، جمجمه BG6.01 به‌عنوان آخرین نمونه به خوشه جمجمه‌های تغییرشکل‌یافته متصل می‌شود. این گزاره نیز نتایج قبلی (شکل ۴) را تائید می‌کند؛ یعنی با افزایش تعداد جمجمه‌های معمولی به ۶۰ نمونه، نتایج تغییری نمی‌کند و هنوز روش به‌کار رفته بر پایه شاخص‌های در نظر گرفته شده، می‌تواند جمجمه‌های تغییرشکل‌یافته را از جمجمه‌های معمولی جدا کند، تغییرشکل جزئی در نمونه BG1.02 را شناسایی کند و جمجمه‌های معمولی چگاسفلی را در کنار سایر جمجمه‌های معمولی مردم خوزستان قرار دهد. ضمن اینکه هنوز ارتفاع خوشه شدن در نمونه‌های تغییرشکل‌یافته بیشتر از همین ارتفاع در خوشه جمجمه‌ها معمولی است. تنها تفاوت نتایج تحلیل اخیر با تحلیل قبلی در این است که جمجمه‌های تغییرشکل‌یافته BG1.05، BG1.11، BG1.12 و BG1.20 ابتدا با BG1.02 خوشه می‌شوند و در نهایت با BG6.01 آخرین خوشه را تشکیل می‌دهند.

فناوری دانشگاه علوم پزشکی و خدمات درمانی جندی شاپور اهواز که امکان دسترسی به تصاویر پزشکی نمونه‌های امروزی خوزستان را فراهم آوردند، تشکر و قدردانی می‌شود. از جناب آقای دکتر میثم معزی، رئیس محترم مرکز آموزشی، پژوهشی و درمانی گلستان بی‌نهایت سپاسگزاریم. از پیگیری‌های سرکار خانم میترا پریدار و هماهنگی‌های ایشان با مراکز درمانی شهر اهواز قدردانی می‌شود. از سرکار خانم شاه‌محمدی، کمیته اخلاق در پژوهش دانشگاه تربیت مدرس که زحمت تخصیص و تصویب کد اخلاق استفاده شده در پژوهش را برعهده داشتند، تشکر می‌شود.

مشارکت نویسندگان: این پژوهش در مراحل مختلف مانند مفهوم‌سازی، مدیریت داده‌ها، روش پژوهش، بازخوانی و ویرایش از مشارکت نویسنده اول و دوم برخوردار بوده است. نوشتن متن اصلی، تحلیل داده‌ها و بخش نرم‌افزار توسط نویسنده اول انجام شده است. نظارت، اعتبارسنجی و مدیریت پروژه را نویسنده دوم انجام داده است.

تأمین مالی: این پژوهش به صورت مستقل انجام شده و از حمایت مالی هیچ‌گونه سازمانی (دولتی و غیردولتی) برخوردار نبوده است.

تضاد منافع: نویسندگان اعلام می‌دارند که هیچ‌گونه تضاد منافع مرتبط با پژوهش حاضر برای اظهار وجود ندارد.

دسترسی به داده‌ها و مواد: دسترسی به داده‌ها با توجه به رعایت اخلاق در پژوهش، حفظ و آشکار نکردن نام بیماران، تنها به صورت فایل اکسل (بدون اطلاعات هویتی) و در صورت درخواست دادن به نویسندگان پژوهش قابل پیگیری خواهد بود.

اخلاق در پژوهش: پژوهش اخیر از کد اخلاق با شناسه ar.modares.rec.1400.211 مصوب کمیته اخلاق در پژوهش دانشگاه تربیت مدرس (به تاریخ ۱۴۰۰/۰۸/۱۰) استفاده می‌کند.

References

منابع

- Alirezazadeh, M. (2022). Investigation of Artificial Cranial Deformation in Tol-e Chega Sofla, Khuzestan. Unpublished doctoral dissertation, Tarbiat Modares University, Tehran, Iran [In Persian].
- Alirezazadeh, M., Vahdati Nasab, H. and Moghaddam, A. (2024). Modification of Human Skulls in Tol-e Chega Sofla. *Archaeological Research of Iran*, 14(40), 7-33. doi: 10.22084/nb.2022.25249.2418 [In Persian]. https://nbsh.basu.ac.ir/article_4577.html
- Alirezazadeh, M., Vahdati Nasab, H., & Moghaddam, A. (2024a). Using the morphometric approach to analyze artificially modified crania from the late fifth millennium BCE settlement of Chega Sofla, southwestern Iran. *International Journal of Osteoarchaeology*. 34(4), e3306. <https://doi.org/10.1002/oa.3306>
- Anton, S.C. (1989). Intentional cranial vault deformation and induced changes of the cranial base and face. *American Journal of Physical Anthropology*. 79, pp. 253–267. <https://doi.org/10.1002/ajpa.1330790213>
- Anton, S.C., Weinstein K.J. (1999). Artificial cranial deformation and fossil Australians revisited. *Journal of Human Evolution*. 36, pp. 195–209. <https://doi.org/10.1006/jhev.1998.0266>
- Björk, A., Björk, L. (1964). Artificial deformation and cranio-facial asymmetry in ancient Peruvians. *Journal of Dental Research*. 43, pp. 353–362. <https://doi.org/10.1177/00220345640430030601>
- Blom, D.E., Hallgrímsson, B., Keng, L., Lozada, M.C., Buikstra, J.E. (1998). Tiwanaku colonization: bioarchaeological implications for migration in the Moquegua Valley, Peru. *World Archaeology*. 30, pp. 238–261. <https://doi.org/10.1080/00438243.1998.9980409>
- Brown, P. (1981). Artificial cranial deformation: A component in the variation in Pleistocene Australian Aboriginal crania. *Archaeology in Oceania*. 16, 156–167. <https://doi.org/10.1002/j.1834-4453.1981.tb00026.x>
- Burrows, G., Stanley, H. M. (1898). *The land of the pigmies*. Thomas Y. Crowell & Co.
- Carlson, D. L. (2024). Quantitative methods in archaeology using R. Translated into Persian: Alirezazadeh, M. Halil publications, Tehran, Iran [In Persian].
- Chech, M., Groves, C. P., Thorne, A., Trinkaus, E. (1999). A new reconstruction of the Shanidar 5 cranium. *Paléorient*. 25(2), 143–146. <https://doi.org/10.3406/paleo.1999.4692>
- Cheever, H. T. (1856). *The island world of the Pacific*. Harper & brothers.
- Cheverud, J.M., Kohn L.A.P., Konigsberg, L.W., Leigh, S.R. (1992). Effects of fronto-occipital artificial cranial vault modification on the cranial base and face. *American Journal of Physical Anthropology*. 88, pp. 323–345. <https://doi.org/10.1002/ajpa.1330880307>
- Clark, J. L., Dobson, S. D., Antón, S. C., Hawks, J., Hunley, K. L., & Wolpoff, M. H. (2007). Identifying artificially deformed crania. *International Journal of Osteoarchaeology*. 17: 596–607. <https://doi.org/10.1002/oa.910>
- Daems, A., Croucher, K. (2007). Artificial cranial modification in prehistoric Iran: Evidence from crania and figurines. *Iranica Antiqua*. XLII, 42, 1–21. <https://doi.org/10.2143/IA.42.0.2017868>
- Del Papa, M.C., Perez, S.I. (2007). The influence of artificial cranial vault deformation on the expression of cranial nonmetric traits: its importance in the study of evolutionary relationships. *American Journal of Physical Anthropology*. 134, pp. 251–262. <https://doi.org/10.1002/ajpa.20665>
- Delougaz, P. and Kantor, HJ. (1996). *Chogha Mish Volume 1: The First Five Seasons 1961-1971*. Oriental Institute Publications. the Oriental Institute of the University of Chicago.
- Dembo, A., Imbelloni, J. (1938). *Deformaciones Intencionales del Cuerpo Humano de Caracter Etnico*, Humanior. Biblioteca del Americanista Moderno. Seccion A, Tomo III Buenos Aires, Argentina.
- Dingwall, E.J. (1931). Artificial cranial deformation- A contribution to the study of ethnic mutilation. John Bale Sons &

- Danielsson Ltd: London.
- Durband, A. C. (2008). Artificial cranial deformation in Pleistocene Australians: The Coobool Creek sample. *Journal of Human Evolution*, 54, 795–813. <https://doi.org/10.1016/j.jhevol.2007.10.013>
- Friess, M., Baylac, M. (2003). Exploring artificial cranial deformation using elliptic Fourier analysis of procrustes aligned outlines. *American Journal of Physical Anthropology*, 122, pp. 11-22. <https://doi.org/10.1002/ajpa.10286>
- Hippocrates, Jones W.H.S. (1923). *Ancient Medicine Airs Waters Places Epidemics 1 and 3 the Oath Precepts Nutriment 1*. Harvard University Press: Cambridge.
- Hole, F. (1977). *Studies in the archeological history of the Deh Luran Plain: The excavation of Chagha Sefid*. Ann Arbor: Museum of Anthropology University of Michigan.
- Hole, F., Flannery, K. V., Neely, J. A. (1969). *Prehistory and human ecology of the Deh Luran plain: An early village sequence from Khuzistan Iran*. University of Michigan.
- Hoshower, L.M., Buikstra, J.E., Goldstein, P.S., Webster, A.D. (1995). Artificial Cranial Deformation at the Omo M10 Site: a Tiwanaku complex from the Moquegua Valley. *Latin American Antiquity*, 6, pp. 145–164. <https://doi.org/10.2307/972149>
- Hrdlička, A. (1919). Anthropometry. *American Journal of Physical Anthropology*, ii, pp. 175-194. <https://doi.org/10.1002/ajpa.1330020112>
- Imbelloni, J. (1923). *Introduccion a nuevos estudios de craneotrigonometria*, Anales del Museo nacional de Historia natural de Buenos Aires Argentina. Tomo. XXXI, pp. 31–94.
- Imbelloni, J. (1938). *Formas, esencia y metodica de las deformaciones cefalicas intencionales*, Universidad Nacional de Tucuman, Instituto de Antropologia, *Revista del Instituto de Antropologia*, 1(232), pp. 5-37.
- Imbelloni, J. (1963). *Cephalic deformations of the indians of Argentina*. In: Steward JH, editor. *Handbook of South American Indians*. Smithsonian Institution Bureau of American Ethnology Bulletin 143: 53-55.
- Joyce, T. A. (1914). *Mexican archaeology*. P. L. Warner.
- Lambert, P.J.B. (1979). Early Neolithic cranial deformation at Ganj Dareh Tepe Iran. *Canadian Review of Physical Anthropology*, 1, pp. 51-54.
- Lorentz, K.O. (2017). Marking Identity through Cultural Cranial Modification within the First Sedentary Communities (Ninth to Eighth Millennium BCE) in the Near East: Tepe Abdul Hosein, Iran. *International Journal of Osteoarchaeology*, 27, pp. 973-983. <https://doi.org/10.1002/oa.2609>
- Manríquez, G., González-Bergás, F.E., Salinas, J.C., Espouey, O. (2005). *Deformación intencional del cráneo en poblaciones arqueológicas de Arica, Chile: Análisis preliminar de morfometría geométrica con uso de radiografías craneofaciales*. Chungará (Arica). <http://dx.doi.org/10.4067/S0717-73562006000100004>
- Meiklejohn, C., Smith, P.E.L., Solecki, R., Agelarakis, A., Akkermans, P.A. (1992). Artificial cranial deformation in the Proto-Neolithic and Neolithic Near East and its possible Origin: Evidence from four sites. *Paléorient*, 18, pp. 83-97. <https://doi.org/10.3406/paleo.1992.4574>
- Moghaddam, A. (2019). *Archaeological Excavations at TOL-e CHEGA SOFLA CEMETERY The First Season (Winter 2016)*. Iranian Center for Archaeological Research [In Persian].
- Moghaddam, A., Miri, N. (2021). *Tol-e Chega Sofla Cemetery: A Phenomenon in the Context of Late 5th Millennium Southwest Iran*, in Abar, A. u. a. (Hrsg.) *Pearls, Politics and Pistachios: Essays in Anthropology and Memories on the Occasion of Susan Pollock's 65th Birthday*. Heidelberg: Propylaeum, S. 47–60. <https://doi.org/10.11588/propylaeum.837.c10734>
- Morton, S.G. (1839). *Crania Americana or A comparative view of the skulls of various aboriginal nations of North and South America: To which is prefixed an essay on the varieties of the human species*. J. Dobson: Philadelphia.
- Ni, X., Li, Q., Stidham, T. A., Yang, Y., Ji, Q., Jin, C., Samiullah, K. (2020). Earliest-known intentionally deformed human cranium from Asia. *Archaeological and Anthropological Sciences*, 12, 93. <https://doi.org/10.1007/s12520-020-01045-x>
- O'Brien, T.G., Stanley, A.M. (2013). Boards and Cords: Discriminating Types of Artificial Cranial Deformation in Prehispanic South Central Andean Populations. *Int. J. Osteoarchaeology*, 23: 459-470. <https://doi.org/10.1002/oa.1269>
- O'Loughlin, V.D. (1996). Comparative endocranial vascular changes due to craniostylosis and artificial cranial deformation. *American Journal of Physical Anthropology*, 101, pp. 369–385. [https://doi.org/10.1002/\(SICI\)1096-8644\(199611\)101:3%3C369::AID-AJPA6%3E3.0.CO;2-U](https://doi.org/10.1002/(SICI)1096-8644(199611)101:3%3C369::AID-AJPA6%3E3.0.CO;2-U)
- O'Brien, T.G., Peters, L.R., Hines, M.E. (2013). Artificial Cranial Deformation: Potential Implications for Affected Brain Function. *Anthropology*, 1:3. <http://dx.doi.org/10.4172/2332-0915.1000107>
- Ogura, M., Al-Kalaly, A., Sakashita, R., Kamegai, T., Miyawaki, S. (2006). Relationship between anteroposterior cranial vault deformation and mandibular morphology in a pre-Columbian population. *American Journal of Orthodontics and Dentofacial Orthopedics*, 130, pp. 535–539. <https://doi.org/10.1016/j.ajodo.2006.05.026>
- Ortner, D. J. (1996). Artificial cranial deformation of a human skull from Chogha Mish. in: "Chogha mish volume 1: The first five seasons 1961–1971", P. Delougaz & H. J. Kantor (Eds.). Oriental Institute Publications, the Oriental Institute of the University of Chicago.
- Özbek, M. (2001). Cranial deformation in a subadult sample from Degirmentepe (Chalcolithic, Turkey). *American Journal of Physical Anthropology*, 115, 238–244. <https://doi.org/10.1002/ajpa.1078>
- Perez, S.I. (2007). Artificial cranial deformation in South America: a geometric morphometrics approximation. *Journal*

- of Archaeological Science. 34: 1649–1658. <https://doi.org/10.1016/j.jas.2006.12.003>
- Pomatto, J.K., Calcaterra, J., Kelly, K.M., Beals, S.P., Littlefield, T.R. (2006). A study of family head shape: environmental influences alter cranial shape. *Journal of clinical pediatrics*. 45, pp. 55–63. <https://doi.org/10.1177/000992280604500109>
- Pomeroy, E., Stock, J.T., Zakrzewski, S.R., Lahr, M.M. (2010). A metric study of three types of artificial cranial modification from north-central Peru. *Int. J. Osteoarchaeol.* 20: 317-334. <https://doi.org/10.1002/oa.1044>
- Pullar, J. (1990). Tepe Abdul Hosein: A Neolithic Site in Western Iran; Excavations 1978. *British Archaeological Reports (BAR), International Series 563.* BAR
- Rhode, M.P., Arriaza, B.T. (2006). Influence of cranial deformation on facial morphology among prehistoric southcentral Andean populations. *American Journal of Physical Anthropology*. 130, pp. 462–470. <https://doi.org/10.1002/ajpa.20333>
- Soltysiak, A., Darabi, H. (2017). Human remains from Ali Kosh Iran 2017. *Bioarchaeology of the Near East*. 11, 76–83.
- Tiesler, V. (2014). The bioarchaeology of artificial cranial modifications: New approaches to head shaping and its meanings in Pre-Columbian Mesoamerica and beyond. New York. <https://doi.org/10.1007/978-1-4614-8760-9>
- Topinard, P. (1879). Des déformation ethniques du crâne. *RA, Sér ii*, 496-506.
- Vahdati Nasab, H. & Kazazi, M. (2018). Bio- Anthropology Studies on Human Remains. In: *Archaeological Excavations in Tol-e Chega Sofla Cemetery, First Season, Winter 2015*, edited by Abbas Moghaddam, 157–242. Tehran: RICHT. [In Persian].
- Virey, J.J. (1815), *Enfance. Dict des sciences medicales xii*, pp. 217-256.
- Wilson, S.D. (1862). *Ethnical forms and undesigned distortion of the human cranium, Canadian caverns.* Toronto.

علیرضازاده نودهی، مهدی. (۱۴۰۱). مطالعهٔ مجسمه‌های انسانی تغییر شکل یافته در تل چگاسفلی، خوزستان. رسالهٔ دوره دکتری (منتشر نشده)، دانشگاه تربیت مدرس، تهران، ایران.

علیرضازاده نودهی، مهدی؛ وحدتی نسب، حامد و مقدم، عباس. (۱۴۰۳). مجسمه‌های انسانی تغییر شکل یافته در چگاسفلی. پژوهش‌های باستان‌شناسی ایران، ۱۴(۴۰)، ۷-۳۳. https://nbsh.basu.ac.ir/article_4577.html

کارلسون، دیوید. لی. (۱۴۰۳). روش‌های کمی در باستان‌شناسی با استفاده از R، ترجمه: مهدی علیرضازاده نودهی، تهران، هلیل.

مقدم، عباس. (۱۳۹۷). کاوش‌های باستان‌شناسی در گورستان تل چگاسفلی، فصل نخست (زمستان ۱۳۹۴)، تهران: پژوهشگاه میراث فرهنگی و گردشگری.

وحدتی‌نسب، حامد و کزازی، ماندان. (۱۳۹۷). انسان‌شناسی زیستی بقایای انسانی، در: کاوش‌های باستان‌شناسی در گورستان تل چگاسفلی، فصل نخست (زمستان ۱۳۹۴)، مقدم، عباس، تهران: پژوهشگاه میراث فرهنگی و گردشگری.